

# Indécidabilité des invariants géométriques dans les pavages

---

Léo Paviet Salomon, sous la direction de Pascal Vanier

GREYC  
Université de Caen-Normandie

17 Décembre 2024

- 1 Contexte et premières définitions
- 2 Groupe fondamental projectif
- 3 Entropie d'extension

## Contexte et premières définitions

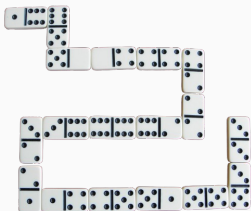
---

Pavages : formalisation possible de “règles d’assemblage”:

- Locales
- Homogènes



Cas le plus courant : assemblage disposé selon une ligne ou une grille.



## Définition

Alphabet : ensemble fini de symboles

$$\mathcal{A} = \{ \blacksquare, \color{red}\blacksquare \}$$

Un ensemble  $\mathcal{F}$  de motifs (finis) interdits :

## Définition

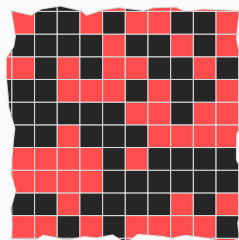
Alphabet : ensemble fini de symboles

$$\mathcal{A} = \{ \blacksquare, \color{red}\blacksquare \}$$

Un ensemble  $\mathcal{F}$  de motifs (finis) interdits :

$$\mathcal{F} = \emptyset$$

Configuration :  $\mathcal{A}$ -coloriage de  $\mathbb{Z}^d$  sans motif interdit



## Définition

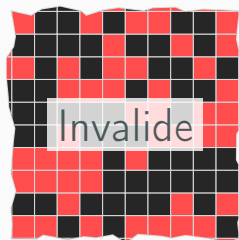
Alphabet : ensemble fini de symboles

$$\mathcal{A} = \{ \blacksquare, \color{red}\blacksquare \}$$

Un ensemble  $\mathcal{F}$  de motifs (finis) interdits :

$$\mathcal{F} = \{ \begin{array}{c} \blacksquare \\ \color{red}\blacksquare \end{array}, \begin{array}{cc} \blacksquare & \color{red}\blacksquare \end{array} \}$$

Configuration :  $\mathcal{A}$ -coloriage de  $\mathbb{Z}^d$  sans motif interdit



## Définition

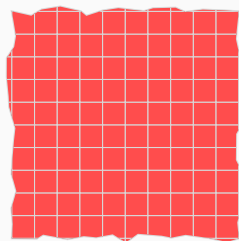
Alphabet : ensemble fini de symboles

$$\mathcal{A} = \{ \blacksquare, \color{red}\square \}$$

Un ensemble  $\mathcal{F}$  de motifs (finis) interdits :

$$\mathcal{F} = \{ \begin{array}{c} \blacksquare \\ \color{red}\square \end{array}, \begin{array}{cc} \blacksquare & \color{red}\square \end{array} \}$$

Configuration :  $\mathcal{A}$ -coloriage de  $\mathbb{Z}^d$  sans motif interdit





## Définition

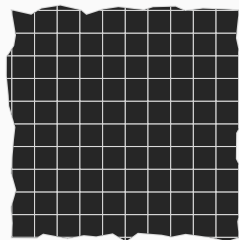
Alphabet : ensemble fini de symboles

$$\mathcal{A} = \{ \blacksquare, \color{red}\blacksquare \}$$

Un ensemble  $\mathcal{F}$  de motifs (finis) interdits :

$$\mathcal{F} = \{ \begin{array}{c} \blacksquare \\ \color{red}\blacksquare \end{array}, \begin{array}{cc} \blacksquare & \color{red}\blacksquare \end{array} \}$$

Configuration :  $\mathcal{A}$ -coloriage de  $\mathbb{Z}^d$  sans motif interdit



## Définition

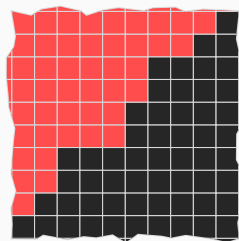
Alphabet : ensemble fini de symboles

$$\mathcal{A} = \{ \blacksquare, \color{red}\blacksquare \}$$

Un ensemble  $\mathcal{F}$  de motifs (finis) interdits :

$$\mathcal{F} = \{ \begin{array}{c} \blacksquare \\ \color{red}\blacksquare \end{array}, \begin{array}{cc} \blacksquare & \color{red}\blacksquare \end{array} \}$$

Configuration :  $\mathcal{A}$ -coloriage de  $\mathbb{Z}^d$  sans motif interdit



## Définition

Alphabet : ensemble fini de symboles

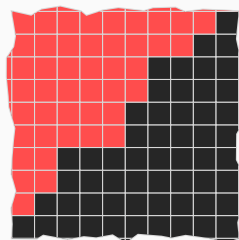
$$\mathcal{A} = \{ \blacksquare, \color{red}\blacksquare \}$$

Un ensemble  $\mathcal{F}$  de motifs (finis) interdits :

$$\mathcal{F} = \{ \begin{array}{c} \blacksquare \\ \color{red}\blacksquare \end{array}, \begin{array}{cc} \blacksquare & \color{red}\blacksquare \end{array} \}$$

**Sous-shift**  $X_{\mathcal{F}}$  : l'ensemble des configurations valides.

**Configuration** :  $\mathcal{A}$ -coloriage de  $\mathbb{Z}^d$  sans motif interdit



## Définition

Alphabet : ensemble fini de symboles

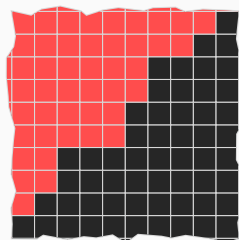
$$\mathcal{A} = \{ \blacksquare, \color{red}\blacksquare \}$$

Un ensemble  $\mathcal{F}$  de motifs (finis) interdits :

$$\mathcal{F} = \{ \begin{array}{c} \blacksquare \\ \color{red}\blacksquare \end{array}, \begin{array}{cc} \blacksquare & \color{red}\blacksquare \end{array} \}$$

**Sous-shift**  $X_{\mathcal{F}}$  : l'ensemble des configurations valides.

**Configuration** :  $\mathcal{A}$ -coloriage de  $\mathbb{Z}^d$  sans motif interdit



Pour  $\mathcal{F}$  ...

- Fini : **Sous-shift de Type Fini**
- Énumérable : **effectif**

Objet élémentaire, mais riche :

- Systèmes dynamiques
- Questions algorithmiques : compter les motifs, les générer efficacement
- Questions géométriques :  $\mathbb{R}^d$ , espaces plus complexes (surfaces branchées, groupes hyperboliques ...)

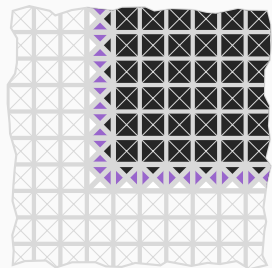
Objet élémentaire, mais riche :

- Systèmes dynamiques
- Questions algorithmiques : compter les motifs, les générer efficacement
- Questions géométriques :  $\mathbb{R}^d$ , espaces plus complexes (surfaces branchées, groupes hyperboliques ...)

### Question

À quel point peut-on **construire** des pavages “complexes” ?

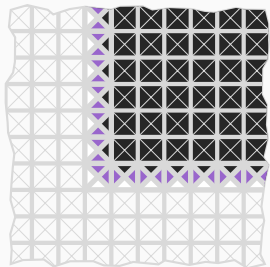
$$\mathcal{A} = \left\{ \begin{array}{c} \square \\ \diagup \\ \diagdown \end{array} \right., \left\{ \begin{array}{c} \square \\ \diagup \\ \text{purple} \\ \diagdown \end{array} \right., \left\{ \begin{array}{c} \text{purple} \\ \diagup \\ \square \\ \diagdown \end{array} \right., \left\{ \begin{array}{c} \text{purple} \\ \diagup \\ \text{black} \\ \diagdown \end{array} \right., \left\{ \begin{array}{c} \text{black} \\ \diagup \\ \text{black} \\ \diagdown \end{array} \right. \right\}$$



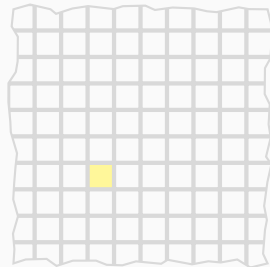
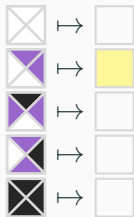
# Facteurs et conjugaisons

$$\mathcal{A} = \{ \begin{array}{c} \square \\ \diagup \diagdown \\ \square \end{array}, \begin{array}{c} \square \\ \diagup \text{ (purple)} \\ \square \end{array}, \begin{array}{c} \text{ (purple)} \\ \diagdown \diagup \\ \square \end{array}, \begin{array}{c} \text{ (purple)} \\ \diagup \diagdown \\ \square \end{array}, \begin{array}{c} \square \\ \diagup \diagdown \\ \square \end{array} \}$$

$$\mathcal{B} = \{ \begin{array}{c} \square \\ \text{ (yellow)} \\ \square \end{array}, \begin{array}{c} \square \\ \square \\ \square \end{array} \}$$



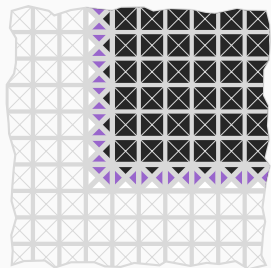
$$\phi: \mathcal{A} \rightarrow \mathcal{B}$$



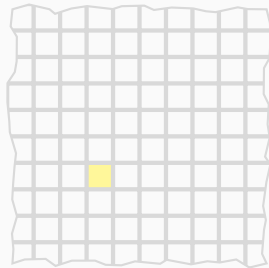
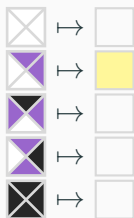


$$A = \{ \begin{array}{c} \square \\ \diagup \diagdown \\ \square \end{array}, \begin{array}{c} \square \\ \diagup \diagdown \\ \blacksquare \end{array}, \begin{array}{c} \blacksquare \\ \diagup \diagdown \\ \square \end{array}, \begin{array}{c} \square \\ \diagdown \diagup \\ \blacksquare \end{array}, \begin{array}{c} \blacksquare \\ \diagdown \diagup \\ \blacksquare \end{array} \}$$

$$B = \{ \begin{array}{c} \blacksquare \\ \blacksquare \end{array}, \begin{array}{c} \square \\ \square \end{array} \}$$



$$\phi: A \rightarrow B$$



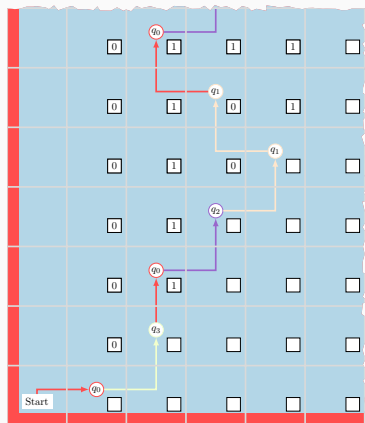
**Factorisation**  $\Phi: X \rightarrow Y =$  application de  $\phi$  en tout point de  $\mathbb{Z}^2$ .

Cas particulier : facteur d'un SFT = **sofique**.

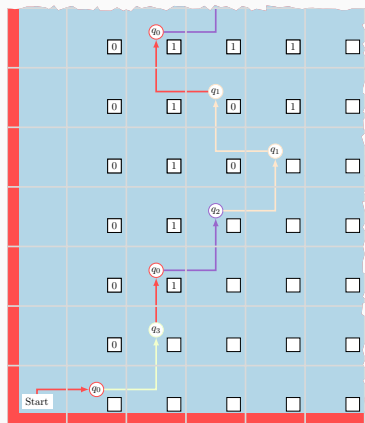
S'il existe un facteur inverse,  $X, Y$  sont dits **conjugués**.

→ On s'intéresse aux quantités **invariantes** par conjugaison.

Diagrammes espace-temps d'une machine de Turing  $M \rightarrow \text{SFT } X_M$ .



Diagrammes espace-temps d'une machine de Turing  $M \rightarrow \text{SFT } X_M$ .

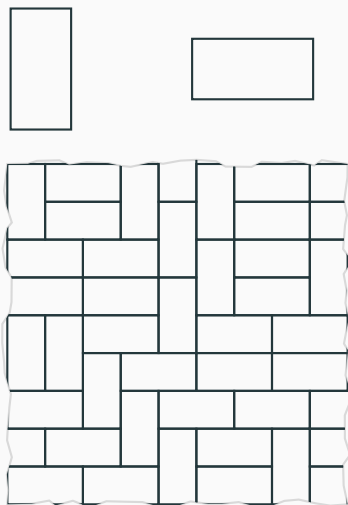


Théorème informel :  $X_M = \emptyset$  si et seulement si  $M$  s'arrête.

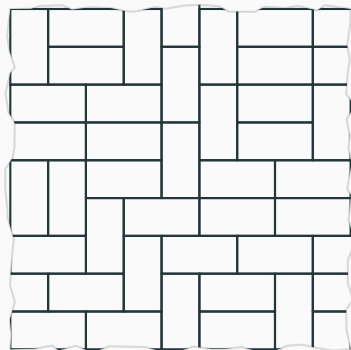
# **Groupe fondamental projectif**

---

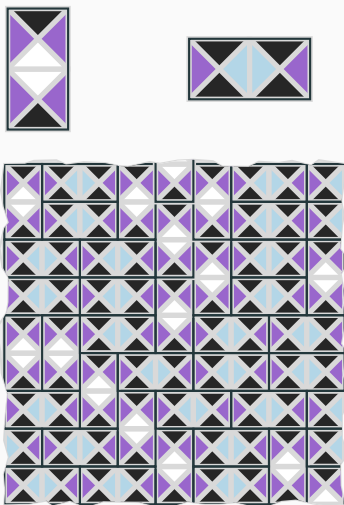
## Premier exemple : le modèle des dimères



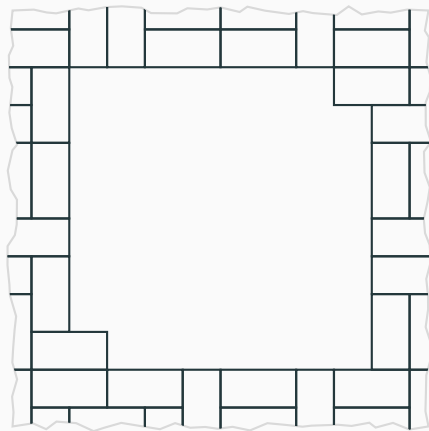
# Premier exemple : le modèle des dimères



# Premier exemple : le modèle des dimères

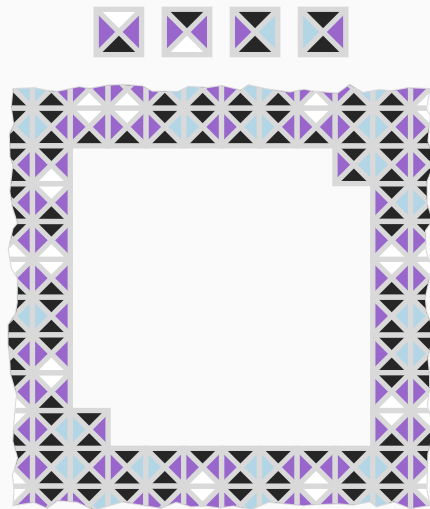


## Configuration partielle : échiquier mutilé

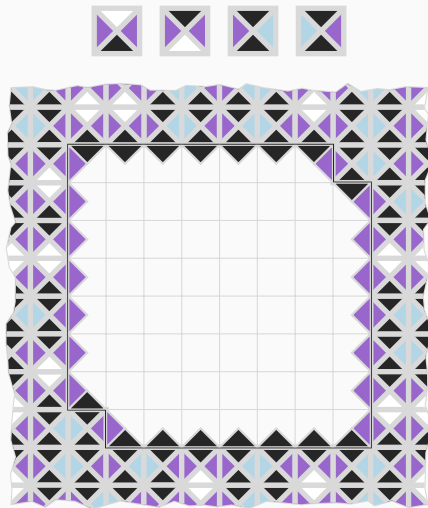




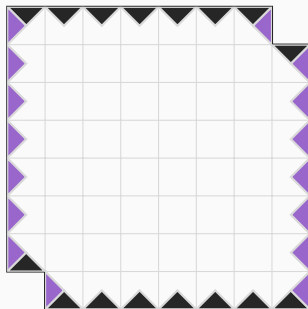
# Configuration partielle : échiquier mutilé



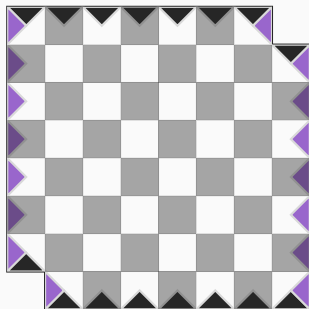
# Configuration partielle : échiquier mutilé



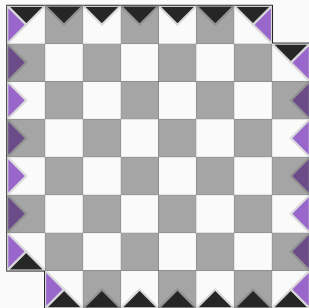
# Configuration partielle : échiquier mutilé



# Configuration partielle : échiquier mutilé



# Configuration partielle : échiquier mutilé



On cherche à généraliser ce type d'arguments de parité/comptage.

On peut décrire un groupe  $\Gamma$  par une **présentation**, notée

$\Gamma = \langle S \mid R \rangle$  :

- $S$  est l'alphabet des générateurs de  $\Gamma$  (et leurs inverses formels)
- Un élément  $g \in \Gamma$  = un mot sur  $S$
- $R$  est un ensemble de relations = des mots triviaux dans  $\Gamma$

On peut décrire un groupe  $\Gamma$  par une **présentation**, notée

$\Gamma = \langle S \mid R \rangle$  :

- $S$  est l'alphabet des générateurs de  $\Gamma$  (et leurs inverses formels)
- Un élément  $g \in \Gamma$  = un mot sur  $S$
- $R$  est un ensemble de relations = des mots triviaux dans  $\Gamma$

Exemple avec  $\mathbb{Z}^2 = \langle a, b \mid aba^{-1}b^{-1} \rangle$  :  $aba = aaba^{-1}b^{-1}ba = aab$

On peut décrire un groupe  $\Gamma$  par une **présentation**, notée

$\Gamma = \langle S \mid R \rangle$  :

- $S$  est l'alphabet des générateurs de  $\Gamma$  (et leurs inverses formels)
- Un élément  $g \in \Gamma$  = un mot sur  $S$
- $R$  est un ensemble de relations = des mots triviaux dans  $\Gamma$

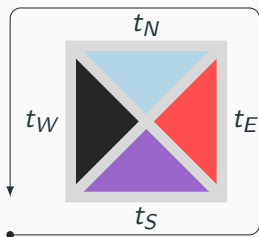
Exemple avec  $\mathbb{Z}^2 = \langle a, b \mid aba^{-1}b^{-1} \rangle$  :  $aba = aaba^{-1}b^{-1}ba = aab$

Un groupe  $\Gamma$  est **finiment présenté** s'il admet une présentation

$\Gamma = \langle S \mid R \rangle$  avec  $S, R$  finis.

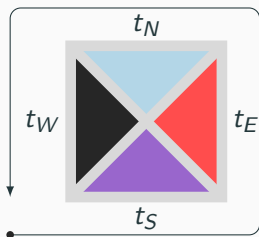


Pour un sous-shift défini avec un ensemble  $\mathcal{A}$  de tuiles colorées par des couleurs de  $C$  :



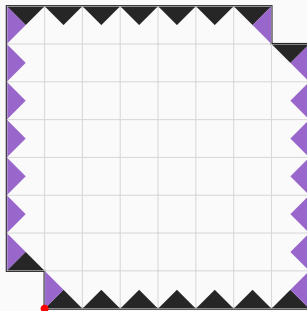
$$\Gamma(\mathcal{A}) = \langle C \mid t_W^{-1} t_N^{-1} t_E t_S, t = (t_W, t_S, t_E, t_N) \in T \rangle$$

Pour un sous-shift défini avec un ensemble  $\mathcal{A}$  de tuiles colorées par des couleurs de  $C$  :



$$\Gamma(\mathcal{A}) = \langle C \mid t_W^{-1} t_N^{-1} t_E t_S, t = (t_W, t_S, t_E, t_N) \in T \rangle$$

Le contour d'un motif valide dans  $x \in X$  valide  $\rightarrow$  identité de  $\Gamma(\mathcal{A})$ .



Début du contour

$$g = t_{\blacksquare}^{-1} t_{\blacksquare}^{-1} t_{\blacktriangle}^{-7} t_{\blacktriangle}^{-7} t_{\blacksquare} t_{\blacksquare} t_{\blacktriangle}^7 t_{\blacktriangle}^7$$

= ...

$\neq 1 \rightarrow$  Pas remplissable de façon valide.

Idée qui généralise beaucoup d'arguments de type "comptage", mais :

- Dépend fortement de l'alphabet du sous-shift
- Pas invariant par conjugaison
- S'adapte mal aux sous-shifts plus généraux que les SFT

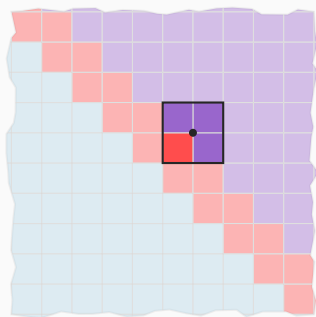
Plutôt que de considérer seulement les côtés des tuiles, on considère des suites de *motifs*. Un *B*-chemin est la donnée :

- D'une **trajectoire** dans  $\mathbb{Z}^2$
- Et d'un motif de support *B* associé à chacun

Plutôt que de considérer seulement les côtés des tuiles, on considère des suites de *motifs*. Un  **$B$ -chemin** est la donnée :

- D'une **trajectoire** dans  $\mathbb{Z}^2$
- Et d'un motif de support  $B$  associé à chacun

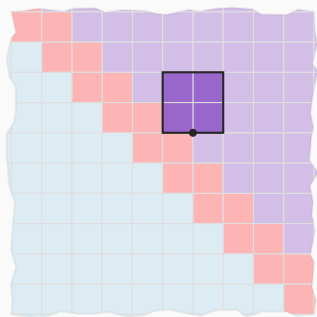
Condition : la “fusion” de deux motifs consécutifs est valide dans  $X$



Plutôt que de considérer seulement les côtés des tuiles, on considère des suites de *motifs*. Un  **$B$ -chemin** est la donnée :

- D'une **trajectoire** dans  $\mathbb{Z}^2$
- Et d'un motif de support  $B$  associé à chacun

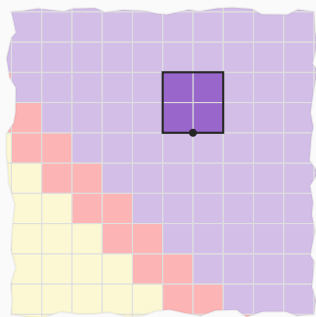
Condition : la “fusion” de deux motifs consécutifs est valide dans  $X$



Plutôt que de considérer seulement les côtés des tuiles, on considère des suites de *motifs*. Un *B-chemin* est la donnée :

- D'une **trajectoire** dans  $\mathbb{Z}^2$
- Et d'un motif de support  $B$  associé à chacun

Condition : la “fusion” de deux motifs consécutifs est valide dans  $X$

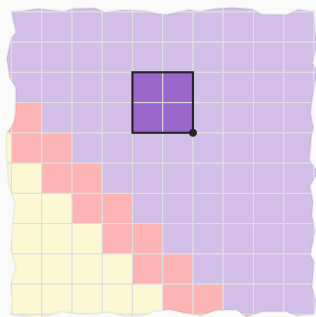




Plutôt que de considérer seulement les côtés des tuiles, on considère des suites de *motifs*. Un *B-chemin* est la donnée :

- D'une **trajectoire** dans  $\mathbb{Z}^2$
- Et d'un motif de support  $B$  associé à chacun

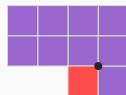
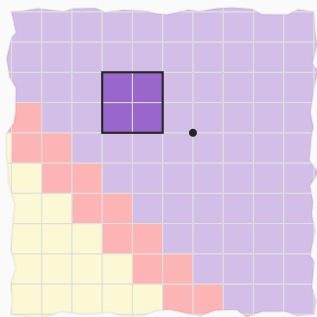
Condition : la “fusion” de deux motifs consécutifs est valide dans  $X$



Plutôt que de considérer seulement les côtés des tuiles, on considère des suites de *motifs*. Un *B-chemin* est la donnée :

- D'une **trajectoire** dans  $\mathbb{Z}^2$
- Et d'un motif de support  $B$  associé à chacun

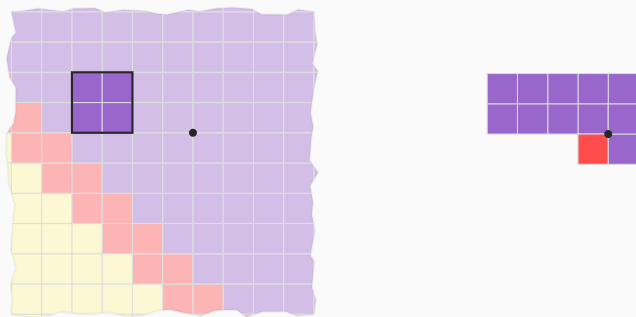
Condition : la “fusion” de deux motifs consécutifs est valide dans  $X$



Plutôt que de considérer seulement les côtés des tuiles, on considère des suites de *motifs*. Un *B-chemin* est la donnée :

- D'une **trajectoire** dans  $\mathbb{Z}^2$
- Et d'un motif de support  $B$  associé à chacun

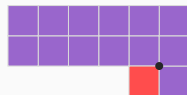
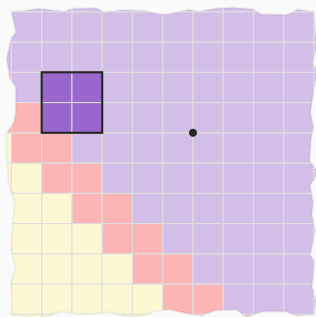
Condition : la “fusion” de deux motifs consécutifs est valide dans  $X$



Plutôt que de considérer seulement les côtés des tuiles, on considère des suites de *motifs*. Un *B-chemin* est la donnée :

- D'une **trajectoire** dans  $\mathbb{Z}^2$
- Et d'un motif de support  $B$  associé à chacun

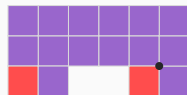
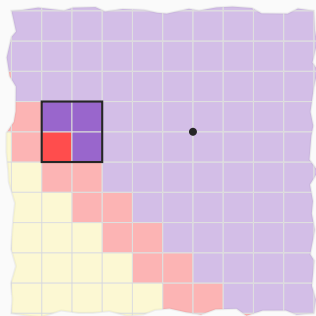
Condition : la “fusion” de deux motifs consécutifs est valide dans  $X$



Plutôt que de considérer seulement les côtés des tuiles, on considère des suites de *motifs*. Un *B-chemin* est la donnée :

- D'une **trajectoire** dans  $\mathbb{Z}^2$
- Et d'un motif de support  $B$  associé à chacun

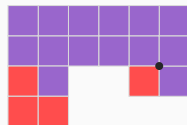
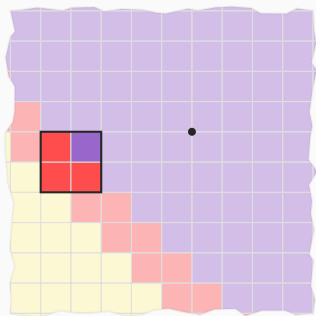
Condition : la “fusion” de deux motifs consécutifs est valide dans  $X$



Plutôt que de considérer seulement les côtés des tuiles, on considère des suites de *motifs*. Un  **$B$ -chemin** est la donnée :

- D'une **trajectoire** dans  $\mathbb{Z}^2$
- Et d'un motif de support  $B$  associé à chacun

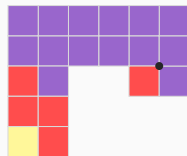
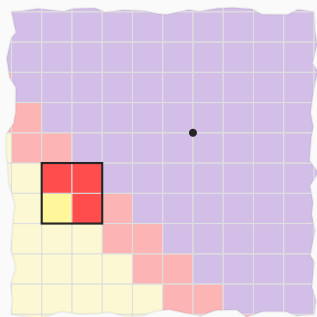
Condition : la “fusion” de deux motifs consécutifs est valide dans  $X$



Plutôt que de considérer seulement les côtés des tuiles, on considère des suites de *motifs*. Un *B-chemin* est la donnée :

- D'une **trajectoire** dans  $\mathbb{Z}^2$
- Et d'un motif de support  $B$  associé à chacun

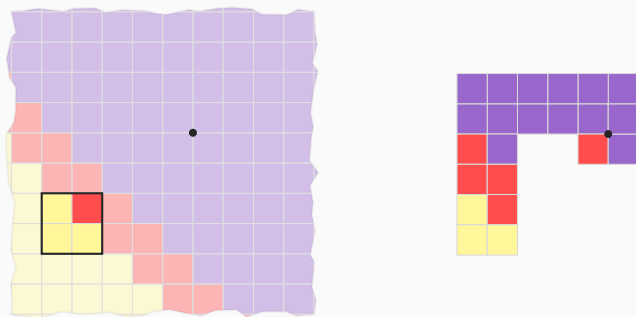
Condition : la “fusion” de deux motifs consécutifs est valide dans  $X$



Plutôt que de considérer seulement les côtés des tuiles, on considère des suites de *motifs*. Un *B-chemin* est la donnée :

- D'une **trajectoire** dans  $\mathbb{Z}^2$
- Et d'un motif de support  $B$  associé à chacun

Condition : la “fusion” de deux motifs consécutifs est valide dans  $X$

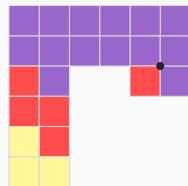
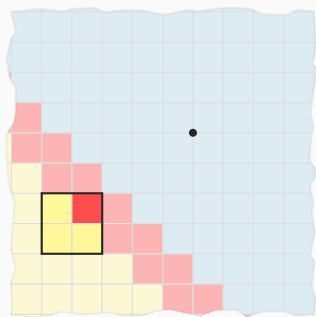




Plutôt que de considérer seulement les côtés des tuiles, on considère des suites de *motifs*. Un *B-chemin* est la donnée :

- D'une **trajectoire** dans  $\mathbb{Z}^2$
- Et d'un motif de support  $B$  associé à chacun

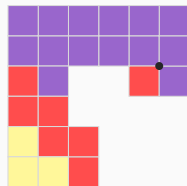
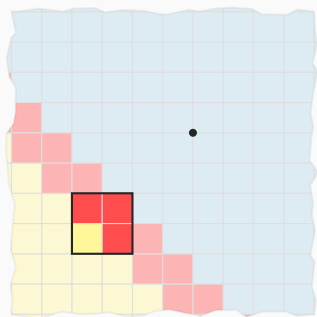
Condition : la “fusion” de deux motifs consécutifs est valide dans  $X$



Plutôt que de considérer seulement les côtés des tuiles, on considère des suites de *motifs*. Un *B-chemin* est la donnée :

- D'une **trajectoire** dans  $\mathbb{Z}^2$
- Et d'un motif de support  $B$  associé à chacun

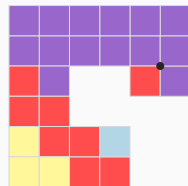
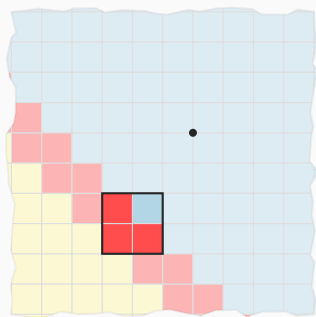
Condition : la “fusion” de deux motifs consécutifs est valide dans  $X$



Plutôt que de considérer seulement les côtés des tuiles, on considère des suites de *motifs*. Un *B-chemin* est la donnée :

- D'une **trajectoire** dans  $\mathbb{Z}^2$
- Et d'un motif de support  $B$  associé à chacun

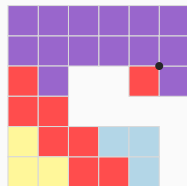
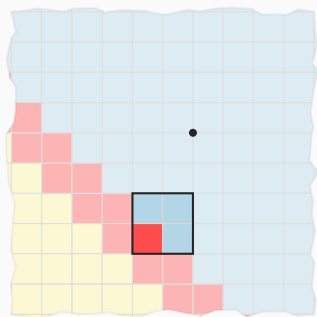
Condition : la “fusion” de deux motifs consécutifs est valide dans  $X$



Plutôt que de considérer seulement les côtés des tuiles, on considère des suites de *motifs*. Un *B-chemin* est la donnée :

- D'une **trajectoire** dans  $\mathbb{Z}^2$
- Et d'un motif de support  $B$  associé à chacun

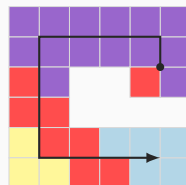
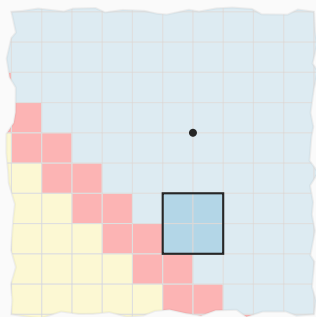
Condition : la “fusion” de deux motifs consécutifs est valide dans  $X$



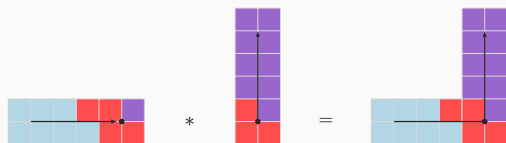
Plutôt que de considérer seulement les côtés des tuiles, on considère des suites de *motifs*. Un *B-chemin* est la donnée :

- D'une **trajectoire** dans  $\mathbb{Z}^2$
- Et d'un motif de support  $B$  associé à chacun

Condition : la “fusion” de deux motifs consécutifs est valide dans  $X$

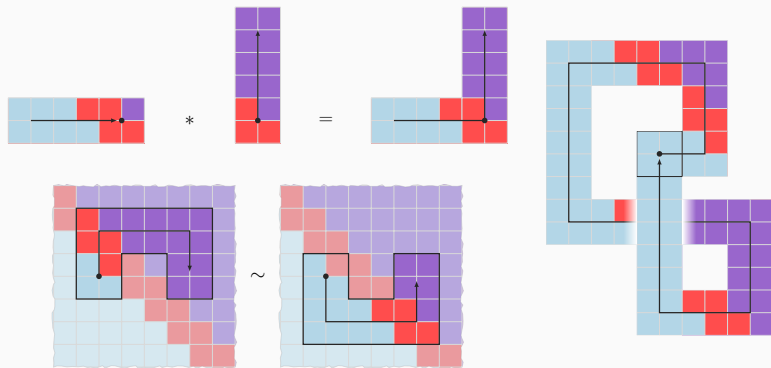


# Une structure de groupe



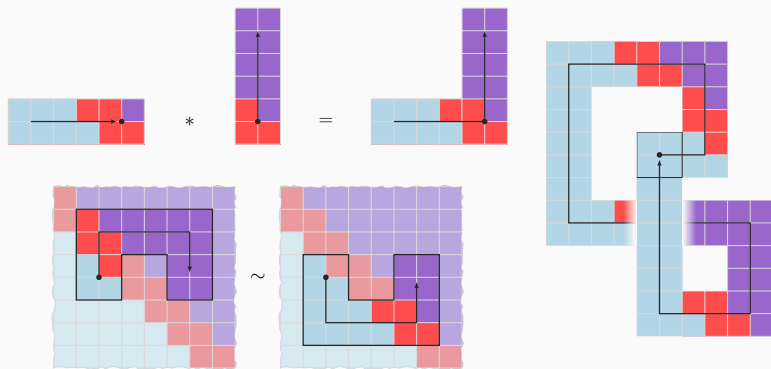


# Une structure de groupe





# Une structure de groupe



## Définition

Pour  $B \subset_f \mathbb{Z}^2$ , on définit  $\pi_1^B(X)$  comme le groupe des boucles, à déformation près.

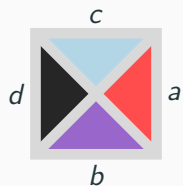
Difficulté: se passer de la dépendance en  $B$ . On peut obtenir un *unique* groupe,  $\pi_1^{proj}(X)$ , invariant par conjugaison (Geller, Propp 95 [GP95]).

Difficulté: se passer de la dépendance en  $B$ . On peut obtenir un *unique* groupe,  $\pi_1^{proj}(X)$ , invariant par conjugaison (Geller, Propp 95 [GP95]).

## Question

Quels sont les groupes réalisables comme  $\pi_1^{proj}(X)$  pour  $X$  un SFT de  $\mathbb{Z}^2$  ?

Construction de [GP95]: si  $G$  fini, pour chaque égalité  $ab = cd$  dans le groupe, on a dans l'alphabet un symbole



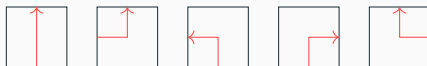
$$d^{-1}c^{-1}ab = 1$$

## Théorème

P., Vanier (MFCS 2023) [PV23]

Si  $G = \langle S \mid R \rangle$  est un groupe finiment présenté, il existe un SFT  $X_G$  tel que  $\pi_1^{proj}(X_G) \simeq G$ .

- Pour  $s \in S$ , on ajoute ces symboles à l'alphabet de  $X_G$  :

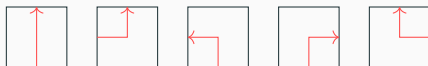


## Théorème

P., Vanier (MFCS 2023) [PV23]

Si  $G = \langle S \mid R \rangle$  est un groupe finiment présenté, il existe un SFT  $X_G$  tel que  $\pi_1^{proj}(X_G) \simeq G$ .

- Pour  $s \in S$ , on ajoute ces symboles à l'alphabet de  $X_G$  :



- Pour  $r_1 r_2 \dots r_n \in R$  : on pose  $\bar{R}_i = \bar{r}_1 \bar{r}_2 \dots \bar{r}_i$  et on ajoute :



Début

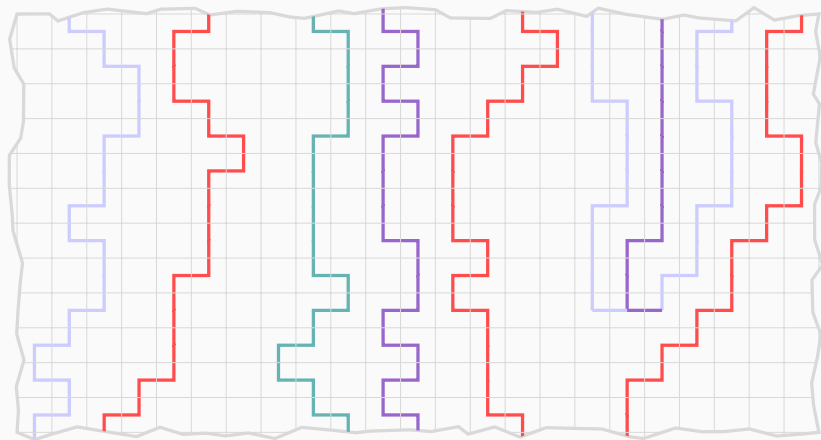


Pour  $2 \leq i < n$



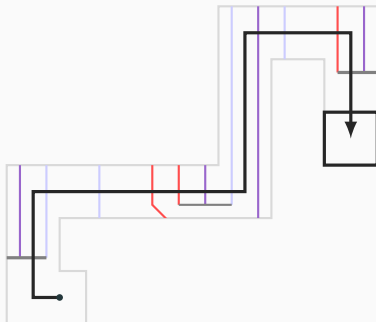
Fin

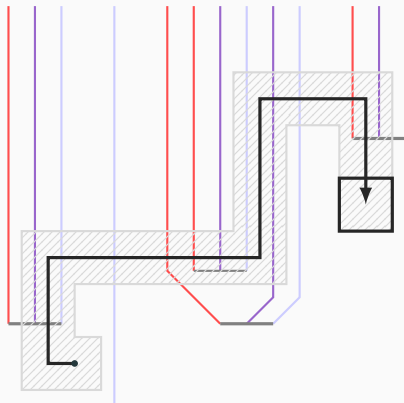
# Configurations de $X_G$

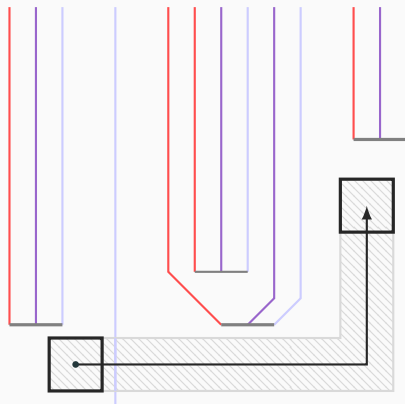
















Une suite de telles opérations permet de montrer que toutes les boucles associées au même élément de  $G$  sont équivalentes.

Outil intéressant : formalise beaucoup d'arguments/méthodes pour répondre aux questions de "pavages à trous", de façon robuste, .

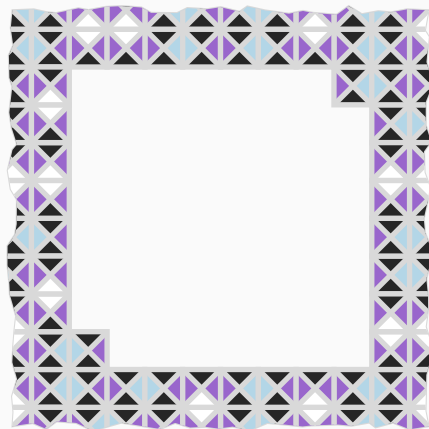
Mais :

- Difficile à calculer (**cas particulier des Hom-shifts**)
- Peut être n'importe quel groupe finiment présenté (même pour un SFT): tout reste incalculable
- Beaucoup de questions restent ouvertes (Groupe bien défini ? Caractérisation complète ? Équivalence élément neutre  $\iff$  trou "remplissable" ?)

# Entropie d'extension

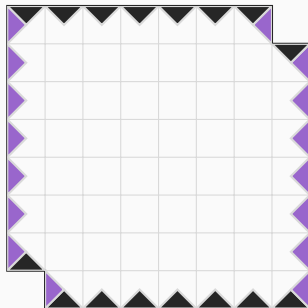
---

Retour sur les dimères :

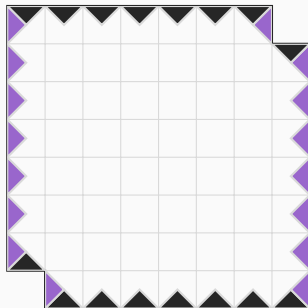




Retour sur les dimères :



Retour sur les dimères :



Renverse l'observation : tous les motifs de même bord sont équivalents vis-à-vis de leur extensibilité.

**Objectif:** caractériser les motifs équivalents pour la relation d'extensibilité:

$w \sim w' \iff$  on peut échanger  $w$  et  $w'$  dans tout motif valide (en particulier :  $w, w'$  de même support).

**Objectif:** caractériser les motifs équivalents pour la relation d'extensibilité:

$w \sim w' \iff$  on peut échanger  $w$  et  $w'$  dans tout motif valide (en particulier :  $w, w'$  de même support).

On note  $E_X(n)$  le nombre de **classes** de motifs équivalents de taille  $n =$  motifs librement échangeables dans  $X$ .

Jusqu'à  $\mathcal{A}^{n^d}$  motifs sur  $\{0, \dots, n-1\}^d$ . Dans un SFT, l'extension ne dépend que du bord du motif  $\implies E_X(n) = o(|\mathcal{A}|^{n^d})$  classes.

Jusqu'à  $\mathcal{A}^{n^d}$  motifs sur  $\{0, \dots, n-1\}^d$ . Dans un SFT, l'extension ne dépend que du bord du motif  $\implies E_X(n) = o(|\mathcal{A}|^{n^d})$  classes.

### Théorème

Ormes, Pavlov [OP16]

Pour  $X \subset \mathcal{A}^{\mathbb{Z}^d}$  un sous-shift quelconque, s'il existe  $n > 0$  tel que  $E_X(n) \leq n$  alors  $X$  est sofique.  
Sur  $\mathbb{Z}$ , c'est une équivalence.

Jusqu'à  $\mathcal{A}^{n^d}$  motifs sur  $\{0, \dots, n-1\}^d$ . Dans un SFT, l'extension ne dépend que du bord du motif  $\implies E_X(n) = o(|\mathcal{A}|^{n^d})$  classes.

### Théorème

Ormes, Pavlov [OP16]

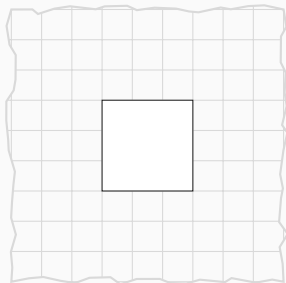
Pour  $X \subset \mathcal{A}^{\mathbb{Z}^d}$  un sous-shift quelconque, s'il existe  $n > 0$  tel que  $E_X(n) \leq n$  alors  $X$  est sofique.  
Sur  $\mathbb{Z}$ , c'est une équivalence.

### Question

Quels sont les comportements asymptotiques possibles de  $E_X$  pour différents sous-shifts  $X$  ?

## Un exemple sofique

Exemple :  $X =$  configurations sur  $\{\blacksquare, \square\}$  avec  $\leq 1$  cases jaunes.

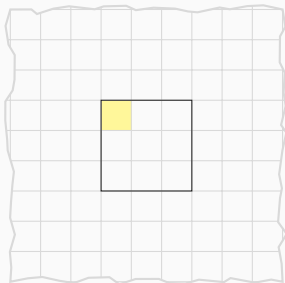


Première classe :

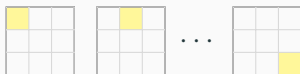


# Un exemple sofique

Exemple :  $X =$  configurations sur  $\{\square, \square\}$  avec  $\leq 1$  cases jaunes.

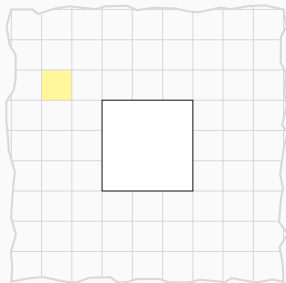


Première classe :

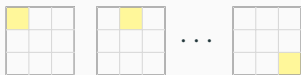


# Un exemple sofique

Exemple :  $X =$  configurations sur  $\{\square, \square\}$  avec  $\leq 1$  cases jaunes.



Première classe :



Seconde classe :



$E_X(n) = 2$  pour tout  $n$  :  $X$  est sofique.

La suite  $(E_X(n))_{n \in \mathbb{N}}$  est une mesure trop fine, mais on peut définir un invariant à partir de sa croissance :

## Définition : Entropie d'extension

French, Pavlov [FP19]

L'entropie d'extension d'un sous-shift  $X$  de  $\mathbb{Z}^d$  est

$$h_E(X) = \lim_{n \rightarrow +\infty} \frac{\log E_X(n)}{n^d} = \inf_{n \rightarrow +\infty} \frac{\log E_X(n)}{n^d}$$

La suite  $(E_X(n))_{n \in \mathbb{N}}$  est une mesure trop fine, mais on peut définir un invariant à partir de sa croissance :

## Définition : Entropie d'extension

French, Pavlov [FP19]

L'entropie d'extension d'un sous-shift  $X$  de  $\mathbb{Z}^d$  est

$$h_E(X) = \lim_{n \rightarrow +\infty} \frac{\log E_X(n)}{n^d} = \inf_{n \rightarrow +\infty} \frac{\log E_X(n)}{n^d}$$

Invariant de conjugaison ( $d = 1$  [FP19],  $d \geq 2$

dans [callard\\_paviet\\_vanier24\\_comput\\_exten\\_sets\\_multid\\_subsh](#)

$0 \leq h_E(X) \leq \log \mathcal{A}$ , et vaut 0 si  $X$  est un SFT :

$$E_X(n) \sim |\mathcal{A}|^{h_E(X)n^d}$$

Comment quantifier la complexité d'un nombre réel ?

Comment quantifier la complexité d'un nombre réel ?

Idée :  $\alpha \in \mathbb{R}$  est calculable si l'on sait l'approximer,  $|\alpha - r_n| < 2^{-n}$  avec  $(r_n)$  calculable.

Sans l'hypothèse de calculabilité de  $(r_n)$ , on obtient des réels non calculables :

$$\Pi_n = \inf_{k_1} \sup_{k_2} \inf_{k_3} \dots r_{k_1, \dots, k_n} \subset \mathbb{R}$$

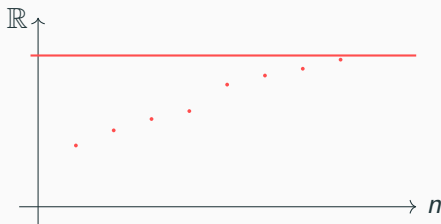
Comment quantifier la complexité d'un nombre réel ?

Idée :  $\alpha \in \mathbb{R}$  est calculable si l'on sait l'approximer,  $|\alpha - r_n| < 2^{-n}$  avec  $(r_n)$  calculable.

Sans l'hypothèse de calculabilité de  $(r_n)$ , on obtient des réels non calculables :

$$\Pi_n = \inf_{k_1} \sup_{k_2} \inf_{k_3} \dots r_{k_1, \dots, k_n} \subset \mathbb{R}$$

Exemple d'un  $\alpha \in \Pi_2$  :



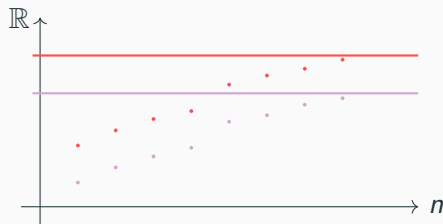
Comment quantifier la complexité d'un nombre réel ?

Idée :  $\alpha \in \mathbb{R}$  est calculable si l'on sait l'approximer,  $|\alpha - r_n| < 2^{-n}$  avec  $(r_n)$  calculable.

Sans l'hypothèse de calculabilité de  $(r_n)$ , on obtient des réels non calculables :

$$\Pi_n = \inf_{k_1} \sup_{k_2} \inf_{k_3} \dots r_{k_1, \dots, k_n} \subset \mathbb{R}$$

Exemple d'un  $\alpha \in \Pi_2$  :





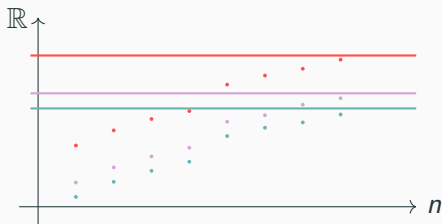
Comment quantifier la complexité d'un nombre réel ?

Idée :  $\alpha \in \mathbb{R}$  est calculable si l'on sait l'approximer,  $|\alpha - r_n| < 2^{-n}$  avec  $(r_n)$  calculable.

Sans l'hypothèse de calculabilité de  $(r_n)$ , on obtient des réels non calculables :

$$\Pi_n = \inf_{k_1} \sup_{k_2} \inf_{k_3} \dots r_{k_1, \dots, k_n} \subset \mathbb{R}$$

Exemple d'un  $\alpha \in \Pi_2$  :



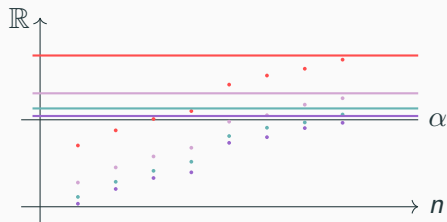
Comment quantifier la complexité d'un nombre réel ?

Idée :  $\alpha \in \mathbb{R}$  est calculable si l'on sait l'approximer,  $|\alpha - r_n| < 2^{-n}$  avec  $(r_n)$  calculable.

Sans l'hypothèse de calculabilité de  $(r_n)$ , on obtient des réels non calculables :

$$\Pi_n = \inf_{k_1} \sup_{k_2} \inf_{k_3} \dots r_{k_1, \dots, k_n} \subset \mathbb{R}$$

Exemple d'un  $\alpha \in \Pi_2$  :



5) callard\_paviet\_vanier24\_comput\_exten\_sets\_multid\_subsh

Les entropies d'extension des sous-shifts effectifs de  $\mathbb{Z}$  sont exactement les réels  $\Pi_3$  positifs.

5) callard\_paviet\_vanier24\_comput\_exten\_sets\_multid\_subsh

Les entropies d'extension des sous-shifts sofiques de  $\mathbb{Z}^d$  pour  $d \geq 2$  sont exactement les réels  $\Pi_3$  positifs.

Sens facile :  $h_E(X) \in \Pi_3$

$$h_E(X) = \alpha \in \Pi_3$$

$$\inf_n \frac{E_X(n)}{n^d} \quad \curvearrowright \quad h_E(X) = \alpha \in \Pi_3$$

$$\begin{array}{ccc} & h_E(X) = \alpha \in \Pi_3 & \\ \nearrow & & \nwarrow \\ \inf_n \frac{E_X(n)}{n^d} & & \inf_n \sup_i \inf_j \alpha_{n,i,j} \end{array}$$

$$\begin{array}{ccc} & h_E(X) = \alpha \in \Pi_3 & \\ \swarrow & & \nwarrow \\ \inf_n \frac{E_X(n)}{n^d} & & \inf_n \sup_i \inf_j \alpha_{n,i,j} \end{array}$$

$$\begin{array}{ccc} & h_E(X) = \alpha \in \Pi_3 & \\ \swarrow & & \nwarrow \\ \inf_n \frac{\# \text{ Motifs de taille } n}{n^d} & & \inf_n \sup_i \inf_j \alpha_{n,i,j} \end{array}$$



$$\begin{array}{ccc} & h_E(X) = \alpha \in \Pi_3 & \\ \swarrow & & \nwarrow \\ \inf_n \frac{\# \text{Motifs de taille } n}{n^d} & & \inf_n \sup_i \inf_j \alpha_{n,i,j} \end{array}$$

+

$$\# \text{Motifs de taille } n \approx E_X(n)$$

→ Peu de motifs interchangeables.

- Périodicité: obtient  $\#$ Motifs de taille  $n \approx E_X(n)$

- Périodicité: obtient  $\#$ Motifs de taille  $n \approx E_X(n)$



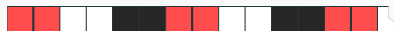
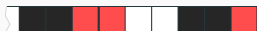
- Périodicité: obtient  $\#$ Motifs de taille  $n \approx E_X(n)$



- Périodicité: obtient  $\#$ Motifs de taille  $n \approx E_X(n)$



- Périodicité: obtient  $\#$ Motifs de taille  $n \approx E_X(n)$



- Périodicité: obtient  $\#$ Motifs de taille  $n \approx E_X(n)$



- Périodicité: obtient  $\#$ Motifs de taille  $n \approx E_X(n)$



- Nombre de motifs  $\approx 2^{\alpha n}$  :



- Périodicité: obtient  $\#$ Motifs de taille  $n \approx E_X(n)$



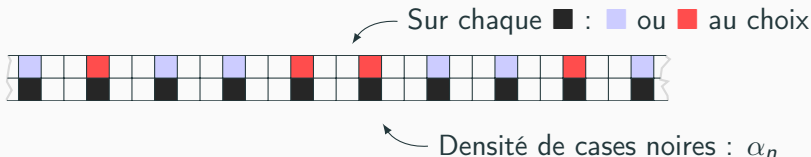
- Nombre de motifs  $\approx 2^{\alpha_n}$  :



- Périodicité: obtient  $\#$ Motifs de taille  $n \approx E_X(n)$



- Nombre de motifs  $\approx 2^{\alpha_n}$  :

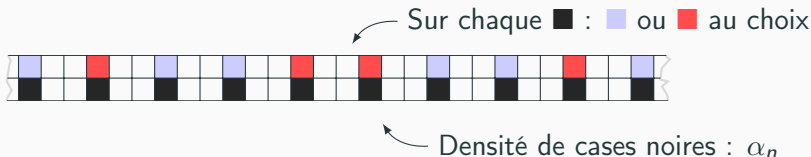


Proportion  $\alpha_n$  des cases comptent pour l'extension du motif.

- Périodicité: obtient  $\#$ Motifs de taille  $n \approx E_X(n)$



- Nombre de motifs  $\approx 2^{\alpha_n}$  :



Proportion  $\alpha_n$  des cases comptent pour l'extension du motif.

Beaucoup de détails cachés ( $\alpha_n$  pas calculable, adaptation aux  
sofiques multidimensionnels ...)

Exemple supplémentaire d'invariant :

- Complètement caractérisé par la calculabilité
- Pour lequel les sous-shift sofiques sont “aussi complexes” que les effectifs
- Très différent en  $d = 1$  et  $d \geq 2$  pour les sous-shifts sofiques

Exemple supplémentaire d'invariant :

- Complètement caractérisé par la calculabilité
- Pour lequel les sous-shift sofiques sont “aussi complexes” que les effectifs
- Très différent en  $d = 1$  et  $d \geq 2$  pour les sous-shifts sofiques

Résumé des caractérisations :

	$\mathbb{Z}$	$\mathbb{Z}^{d \geq 2}$
SFT	{0}	
Sofique	{0}	$\Pi_3$
Effectif	$\Pi_3$	
Calculable	$\Pi_2$	
Effectif et minimal	$\Pi_1$	
Effectif and 1-Mélangeant/Block-Gluing <sup>(*)</sup>	$\Pi_3$	

Mise en évidence de la forte expressivité des sous-shifts de  $\mathbb{Z}^2$  en tant que modèle de calcul :

- Nombreux problèmes indécidables
- Caractérisation complète de certains invariants à l'aide de la calculabilité, ou obtention de “bornes inférieures” pour d'autres (que dire sur les bornes supérieures ?)
- D'autres résultats, notamment sur des sous-shifts de graphes et des substitutions.

Mise en évidence de la forte expressivité des sous-shifts de  $\mathbb{Z}^2$  en tant que modèle de calcul :

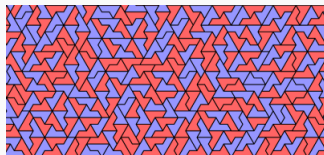
- Nombreux problèmes indécidables
- Caractérisation complète de certains invariants à l'aide de la calculabilité, ou obtention de “bornes inférieures” pour d'autres (que dire sur les bornes supérieures ?)
- D'autres résultats, notamment sur des sous-shifts de graphes et des substitutions.

**Suite possible** : étude plus systématique du **groupe plein**, invariant algébrique avec des forts liens avec la calculabilité.

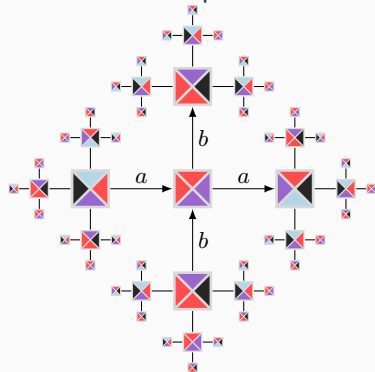
Dans quelle mesure peut-on adapter les résultats des sous-shifts de  $\mathbb{Z}^2$  aux sous-shifts définis sur d'autres espaces ?

Première question : quel *cadre* pour définir ces sous-shifts ?

$\mathbb{R}^d$

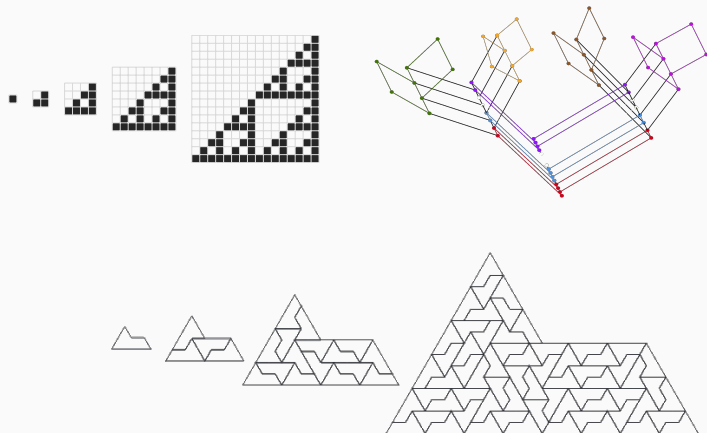


Groupes





Le résultat que l'on cherche à généraliser porte sur les sous-shifts substitutifs.



## Meta-Théorème : Mozes

Tout sous-shift substitutif raisonnable est sofique.

## Meta-Théorème : Mozes

Tout sous-shift **substitutif** **raisonnable** est **sofique**.

## Meta-Théorème : Mozes

Tout sous-shift substitutif raisonnable est sofique.

Vérifié avec des preuves et des hypothèses similaires dans :

- $\mathbb{Z}^d$  [Moz89], [BS16]
- $\mathbb{R}^d$  [Goo98], [FO10]
- Groupes de Baumslag-Solitar  $BS(1, N)$  [Sil20]

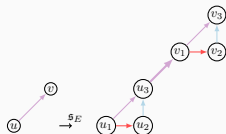
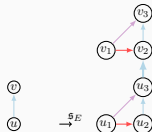
## Question

Hypothèses minimales sur l'espace sous-jacent pour que la méta-preuve fonctionne ?

On utilise un formalisme de  $L$ -systèmes généralisés (Knapik [Kna24]) : on substitue un sommet en graphe, les arêtes en ensemble d'arêtes entre ces graphes.

# Sous-shift substitutifs sur les graphes

On utilise un formalisme de  $L$ -systèmes généralisés (Knapik [Kna24]) : on substitue un sommet en graphe, les arêtes en ensemble d'arêtes entre ces graphes.

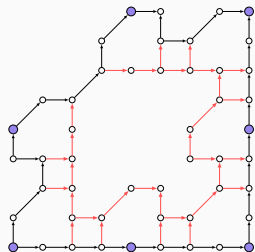


## Théorème

Pour  $\mathfrak{s}$  une graphe-substitution quasi-connecte et  $X_{\mathfrak{s}}$  associé, il existe  $Y_{\mathfrak{s}} \supseteq X_{\mathfrak{s}}$  un sous-shift sofique  $X_{\mathfrak{s}}$ -feuilleté.

## Théorème

Pour  $\mathfrak{s}$  une graphe-substitution quasi-connecte et  $X_{\mathfrak{s}}$  associé, il existe  $Y_{\mathfrak{s}} \supseteq X_{\mathfrak{s}}$  un sous-shift sofique  $X_{\mathfrak{s}}$ -feuilleté.





## Théorème

Pour  $\mathfrak{s}$  une graphe-substitution quasi-connecte et  $X_{\mathfrak{s}}$  associé, il existe  $Y_{\mathfrak{s}} \supseteq X_{\mathfrak{s}}$  un sous-shift sofique  $X_{\mathfrak{s}}$ -feuilleté.

